

中华人民共和国 恶性肿瘤地图集

中华地图学社出版

中华人民共和国 恶性肿瘤地图集

中华人民共和国 编辑委员会 编制
恶性肿瘤地图集

中华 地 图 学 社 出版

中华人民共和国恶性肿瘤地图集

中华人民共和国恶性肿瘤地图集编辑委员会 编制

中华地图学社 出版

上海中华印刷厂 印刷

新华书店 上海发行所 发行

787×1092 1/8 28开印张

1979年12月第1版

1979年12月上海第1次印刷

印数：0001~3000

统一书号：12118·028 定价：55元

本图上中国国界线系根据地图出版社1971年出版的
《中华人民共和国地图》绘制。

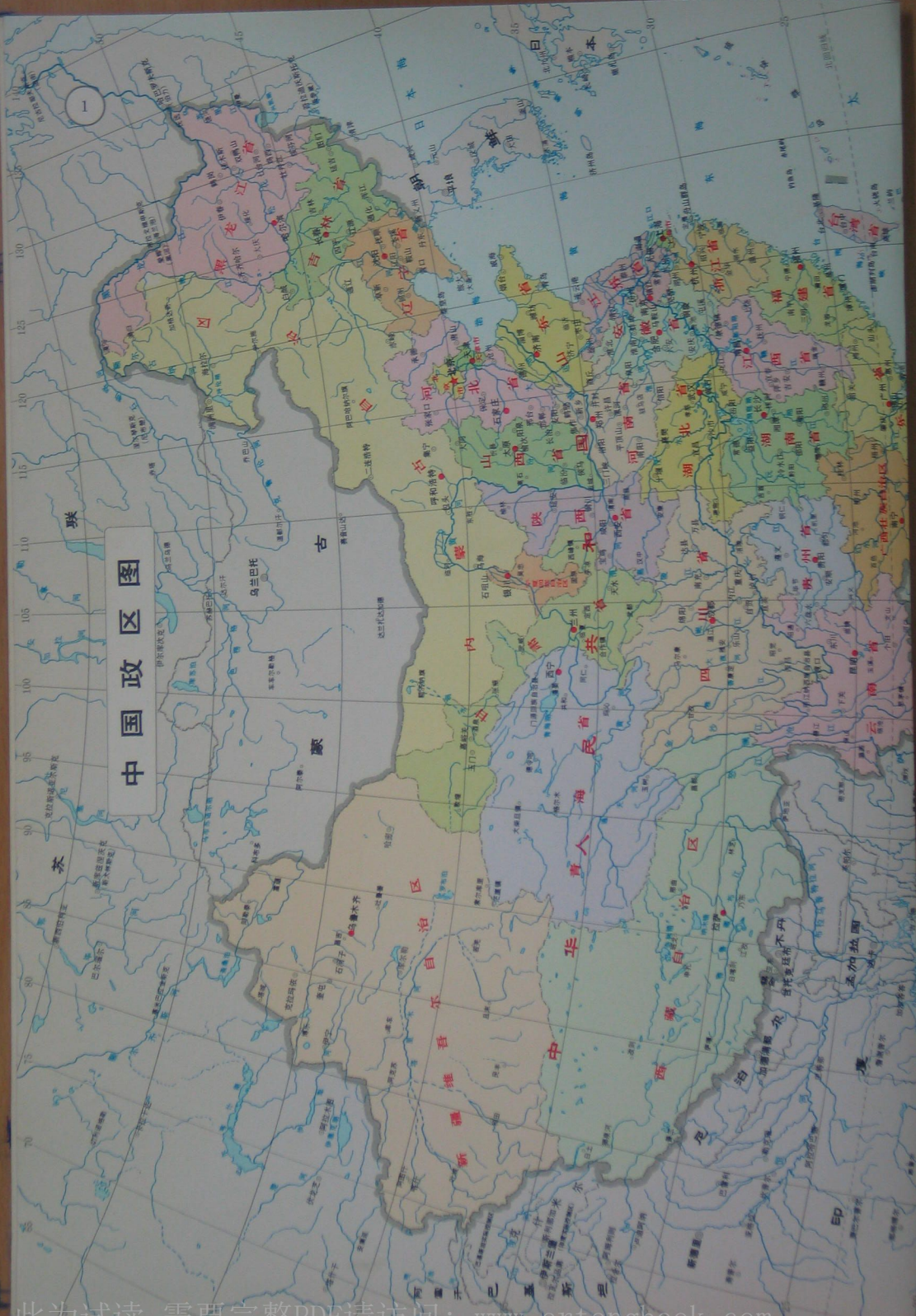
行政区划资料截止1976年12月

1-2 中 国 政 区 图

(附页)

比例尺 1 : 15000000

中国政区图



此为试读, 需要完整PDF请访问: www.ertongbook.com



全国行政区划表

(截止 1979 年 12 月 31 日)

	省直辖市	自治区	自治州	地区	县	乡	合计																									
	22	3	5	19	9	9	115 000 000																									
省	北京	天津	河北	山西	内蒙古自治区	辽宁	吉林省	黑龙江	陕西	甘肃	青海	宁夏回族自治区	新疆维吾尔自治区	西藏自治区	江苏省	浙江省	安徽省	江西省	湖南省	湖北省	河南省	湖北省	四川省	贵州省	云南省	陕西省	甘肃省	青海省	西藏自治区	合 计		
自治区	内蒙古自治区																															
自治州																																
地区																																
县	137	101	22	41	36	63	92	66	165	232	74	106	64	65	100	80	62	111	72	86	92	72	177	67	102	71	2002	2137				
乡	9	10	5	2	2	1	6	5	6	5	6	5	6	5	6	5	6	5	6	5	6	5	6	5	6	5	6	5	6	5		

- ★ 我国首都
● 省、自治区、直辖市
○ 人民公社
◎ 市(外国领事馆)
△ 一般城镇(外国领事馆)
◎ 外国首都和首府

115 000 000

12

13

前　　言

遵照敬爱的周总理的指示，为了掌握我国恶性肿瘤的发病情况和分布规律，广大肿瘤流行病学、卫生统计学工作者，与近百万各级医务人员一道，在各级党委的直接领导下，顶住了“四人帮”的干扰和破坏，完成了全国29个省、市、自治区八亿左右人口（台湾省未查）的三年人口死亡情况调查工作，取得了较为完整可靠的死因统计资料，基本上查清了我国常见恶性肿瘤的死亡情况和分布特征。

为了把我国恶性肿瘤死亡情况调查结果直观地反映在地图上，更形象地说明我国各种常见恶性肿瘤的地区分布特征，供有关部门制定肿瘤防治工作计划，开展肿瘤流行病学、病因学研究以及监视环境致癌因素，进行医学教育，卫生宣教等工作参考，在卫生部和中国科学院的领导下，由卫生部肿瘤防治研究办公室和中国科学院五局主办，组织有关大专院校和科研单位，编制了这本《中华人民共和国恶性肿瘤地图集》。

这本地图集着重显示我国常见恶性肿瘤的地理分布特征。为了便于阅读和比较，除在每类肿瘤分布图后附有部分统计图表外，还选编了中国政区、人口、民族、地势、气候和土壤等地图供参考。

编制中国恶性肿瘤地图集在我国还是第一次，由于缺乏经验，对有关图集的内容和编制方法等方面的缺点和错误，请广大读者提出宝贵意见，以便今后予以改正。

中华人民共和国恶性肿瘤地图集编辑委员会

主编单位：

卫生部肿瘤防治研究办公室
中国科学院南京地理研究所

参加编辑单位：

中国医学科学院肿瘤研究所	中国科学院贵阳地球化学研究所
中国医学科学院基础医学研究所	中国科学院长春地理研究所
统计研究室	中国科学院成都地理研究所
武汉医学院卫生系	北京环境保护研究所
哈尔滨医科大学卫生系	河北地理研究所
山东省医学科学研究所	北京师范大学地理系
四川医学院卫生系	河南地理研究所
上海第一医学院卫生系	中国科学院南京土壤研究所
地图出版社	中国科学院地理研究所

出版单位：

中华地图学社

参加编辑、编绘主要工作人员：

黎钧耀 刘伯齐 李广义 戎寿德 曹德贤 (中国医学科学院肿瘤研究所)	高福清 陈远征 (中国科学院贵阳 地球化学研究所)
徐 琦 刘振东 矫风健 (中国科学院 南京地理研究所)	刘 贺 (中国科学院长春地理研究所)
高润泉 戎振鹏 张承训 (中国医学科 学院基础医学研究所)	吴 茵 游修跃 (中国科学院成都 地理研究所)
周有尚 (武汉医学院)	赵形润 (北京市环境保护研究所)
戴旭东 (哈尔滨医科大学)	薛兆瑞 庄永年 (河北地理研究所)
许海修 (山东省医学科学研究所)	张敦富 褚广荣 (北京师范大学)
倪宗谦 (四川医学院)	法乃亮 (河南地理研究所)
顾杏元 (上海第一医学院)	胡荣梅 (中国科学院南京土壤研究所)
陆用森 王淑华 (地图出版社)	刘 岳 (中国科学院地理研究所)

说 明

一、编绘地图集的数据取自卫生部肿瘤防治研究办公室组织的全国恶性肿瘤死亡情况调查资料。这是在各级党委的领导下实行领导、群众和专业队伍三结合，由医务人员按统一的死亡调查表格和调查方法，深入农村及城镇，在当地有关人员和群众的配合下，对各省区1973—1975年三年的人口死亡情况进行调查的结果（少数省区调查年份略有不同）。为了保证死亡调查资料的完整和准确，全国和各省、地、县均组织了相应的调查技术指导小组，依据卫生部肿瘤防治研究办公室组织编写的“肿瘤死亡情况调查方法”，进行现场指导，按照统一的资料质量控制标准层层把关，对调查资料进行逐级整理、核实、验收、上报和全国汇总，最后由全国肿瘤死亡调查技术指导小组集中统计分析。

二、恶性肿瘤分布图采用两种统计分级方法编绘，以互补两种分级方法的不足，并有利于对照比较和综合分析。

- 1、按等比分级：各类恶性肿瘤按市、县级单位年龄调整死亡率水平高低分六级绘图；
- 2、按显著性检验分级：各类恶性肿瘤的市、县、地级单位年龄调整死亡率与全国年龄调整死亡率水平相比，以其差异的显著性和死亡水平的顺位划分五级绘图。

- I 级 年龄调整死亡率顺次在最高十分位数内，高于全国死亡水平，差异有显著意义。
- II 级 年龄调整死亡率顺次不在最高十分位数内，高于全国死亡水平，差异有显著意义。
- III 级 年龄调整死亡率顺次在最高十分位数内，但与全国死亡水平无显著差异。
- IV 级 年龄调整死亡率顺次不在最高十分位数内，与全国死亡水平无显著差异。
- V 级 年龄调整死亡率低于全国死亡水平，差异有显著意义。

三、图集内容包括：

(1)序图(10幅)：中国政区图(1幅)、中国人口图(1幅)、中国民族图(1幅)、中国地势图(1幅)、中国气候图(5幅)、中国土壤图(1幅)，供研究恶性肿瘤地区分布特点参考。

(2)恶性肿瘤分布图(46幅)：其中包括中国市、县级行政单位图和中国地级行政单位图两幅，表示我国县级和地级行政单位的范围和名称，供阅读恶性肿瘤分布图时查对县、地级名称用。恶性肿瘤分布图按它们在中国的死亡水平高低顺序排列。胃、食管、肝、宫颈、肺、肠、白血病、乳腺、鼻咽九个部位恶性肿瘤和总恶性肿瘤的分布图除西藏自治区和青海省、四川省一部分少数民族地区因县级单位人口过少改用地级行政单位表示外，其余地区采用县级或相当于县级的统计单位年龄调整死亡率显示其死亡水平；脑瘤、恶性淋巴瘤、膀胱癌、阴茎癌和绒癌等

低发恶性肿瘤采用地级统计单位表示*。部分省、区（广东、广西、山东和甘肃）由于调查统计时将部分低发的恶性肿瘤并在其它肿瘤内，未单独分出，因此，在分布图上暂缺。

(3) 恶性肿瘤部位构成图（2幅）：主要反映各省、市、自治区总恶性肿瘤的死亡水平和部位构成情况。

(4) 附表及附图：每种恶性肿瘤分布图后均附有有关统计数据和统计图表，计有：1、全国及各省、市、自治区恶性肿瘤性别年龄调整死亡率统计表及顺位图；2、全国县级单位按恶性肿瘤年龄调整死亡率分布直方图；3、全国县级单位恶性肿瘤年龄调整死亡率按等比分级统计表；4、全国县级单位恶性肿瘤年龄调整死亡率与全国平均水平比较按差异显著性检验分级统计表；5、全国县级单位恶性肿瘤年龄调整死亡率按高低顺次排列百分位数分布统计表；6、全国主要恶性肿瘤年龄调整死亡率，构成及高低顺位统计表；7、全国人口各年龄组段恶性肿瘤构成百分比统计表；8、全国各种恶性肿瘤性别年龄组死亡率统计表（附年龄死亡曲线图）；9、全国肿瘤死亡年龄构成百分比统计表（附直方图）；10、全国各省、市、自治区恶性肿瘤死亡部位构成百分比统计表。

四、调查资料的完整性和可靠性：

(1) 已调查的省、地、县级行政单位均占现有行政单位的96.7%以上，全国除台湾省外，29个省、市、自治区全部进行了调查；29个省、市、自治区中，没有调查的地区只有西藏自治区的阿里地区；没有调查的县有四川省阿坝藏族自治州3个县、甘孜藏族自治州13个县、凉山彝族自治州4个县、西藏自治区那曲地区7个县、阿里地区7个县、青海省1个县，共35个县。县级单位的常住人口绝大部分均已调查。

(2) 恶性肿瘤死亡病例死前就诊单位和诊断依据级别的统计表明，在全部肿瘤死亡病例中，经公社卫生院以上医疗单位诊断的病例占92.54%，其中经县医院以上医疗单位诊断的占79.15%以上，在全部恶性肿瘤死者中，死前经Ⅰ级诊断方法（病理、细胞、包括骨髓片）确诊者占16.66%，经Ⅱ级诊断方法（X线、超声波、同位素、内窥镜、手术探查以及免疫学、生化学检查等）诊断者占53.84%，经Ⅰ、Ⅱ级诊断方法诊断者共占70.5%，仅据临床表现诊断者为Ⅲ级占23.46%，仅据死后推断者为Ⅳ级占6.04%（附表）。

(3) 从各种恶性肿瘤分布图可以看出，省与省之间相邻地区肿瘤死亡水平趋势，并不因为行政区划和调查工作的组织情况和医疗诊断水平不同而受影响。

(4) 全国肿瘤死亡调查技术指导小组在验收的过程中曾经抽查过一部分地区的调查资料，结果表明误诊病例与漏诊病例接近，分别在5%左右；并且全国三十多个防治点肿瘤死亡登记报告统计取得的肿瘤死亡数据与这次死亡调查结果是一致的；一些地区使用食管拉网、胎甲球检测、宫颈细胞涂片、鼻咽腔粘膜活检等当前比较可靠的普查方法进行普查，结果说明，普查检出率和肿瘤死亡率的分布趋势也是一致的。因此，可以认为，死亡调查数据是比较完整和可靠的。

* 本图集图表所用的地、县级单位，均指地、县级调查统计单位。

全国恶性肿瘤病人死前就诊情况和诊断依据级别统计表

分 级 类 别	未 就 诊	就 诊				情 况				诊 断				级 别	
		大 队	公 医	社 医	医 院	省 医	医 院	地 区(市)	医 院	合 计	I	II	III	IV	合 计
鼻 咽 癌	2.00	2.88	8.28	20.29	21.90	44.65	100	39.87	27.72	26.60	5.81	100	100	100	100
食 食 管 癌	2.77	6.34	16.90	37.02	22.89	14.08	100	9.78	65.31	19.64	5.27	100	100	100	100
胃 癌	3.42	5.65	16.70	35.67	24.04	15.52	100	8.79	60.81	23.07	7.33	100	100	100	100
肝 癌	1.43	2.85	11.18	33.13	28.84	22.57	100	9.35	59.11	27.31	4.23	100	100	100	100
直 肠 癌	4.04	4.99	13.54	30.47	25.23	21.73	100	18.09	43.66	29.73	8.52	100	100	100	100
肺 癌	1.21	1.94	7.84	28.61	31.88	28.52	100	11.38	75.46	10.08	3.08	100	100	100	100
乳 腺 癌	2.03	3.71	10.71	27.67	28.81	27.07	100	35.95	28.32	31.30	4.43	100	100	100	100
宫 颈 癌	4.31	5.04	14.84	29.47	24.28	22.06	100	32.56	25.98	33.36	8.10	100	100	100	100
白 血 病	0.87	1.09	6.11	32.63	33.73	25.57	100	66.15	0.00	31.28	2.57	100	100	100	100
结 肠 癌	4.10	5.92	13.61	32.35	27.04	16.98	100	13.60	48.62	28.52	9.26	100	100	100	100
膀 胱 癌	5.11	5.57	13.11	25.14	28.07	23.90	100	15.99	40.64	32.52	10.85	100	100	100	100
阴 茎 癌	5.76	6.10	15.02	29.33	24.69	19.10	100	25.18	22.53	42.51	9.78	100	100	100	100
恶 性 梭 巴 壶 线 瘤	2.56	3.74	8.92	23.47	29.89	31.42	100	44.47	23.56	25.99	5.98	100	100	100	100
脑 肿 瘤	3.16	2.99	7.39	18.28	26.87	41.31	100	16.89	48.23	26.98	7.90	100	100	100	100
其 他 肿 瘤	3.67	4.26	10.36	24.11	28.65	28.95	100	29.95	34.91	27.56	7.58	100	100	100	100
合 计	2.79	4.67	13.38	32.49	25.99	20.68	100	16.66	53.84	23.46	6.04	100	100	100	100

五、恶性肿瘤的死亡水平和危害情况：

我国居民的年平均恶性肿瘤年龄调整死亡率，男性为 $80.17/10$ 万，女性为 $54.27/10$ 万；恶性肿瘤死亡占人口总死亡的比重，男性为11.31%，女性为8.85%。在各类死因中，男性恶性肿瘤死亡仅次于呼吸系病已列为1973—1975年我国人口的第二位死因，女性仅次于呼吸系病，心血管其它病^{*}已列为我国人口的第三位死因。恶性肿瘤对年龄不同的人群危害程度有差别。男性人口中，恶性肿瘤死亡仅占0—14岁（少年儿童期）人口总死亡的0.88%，居第九位，15—34岁上升为第二位（8.72%），35—54、55—74岁已居人口死因的第一位，分别占总死亡的23.05%和17.58%，成为各类死因中死亡最多的疾病。女性和男女合计人口的情况也有类似趋势，说明恶性肿瘤不但在总人口中已成为十分重要的死亡原因，而且其对青壮年劳动力的损害更大。各省、市、自治区居民恶性肿瘤的死亡水平及危害情况有很大差别。根据此次调查结果，全国恶性肿瘤死亡率最高的省、市、自治区，男性有上海、江苏、福建、宁夏和浙江，女性有江苏、山西、上海、福建（见附表）。居民恶性肿瘤死亡居各类死因首位的省、市、自治区，男性有4个（上海、江苏、福建、浙江），女性有1个（江苏）；居第二位死因的男性有8个，女性有4个；居第三位死因的，男性有5个，女性有5个。其中，上海市是我国29个省、市、自治区中恶性肿瘤死亡率最高的地区，其男性年龄调整死亡率为 $133.22/10$ 万，女性为 $70.74/10$ 万，分别占总死亡的27.42%和19.36%。其累积死亡率，男性为25.8%，女性为13.2%，即上海现有的1000万人口中预期最终将有1/5（200万）左右死于恶性肿瘤，其危害程度可想而知。统计表明，居民恶性肿瘤死亡居各类死因首位的城市和地级行政单位，男性有60个，女性有21个；已成为第二位死因的城市和地级行政单位，男性有38个，女性有25个。其中福州市区是我国恶性肿瘤死亡率最高的地区，居民恶性肿瘤的年龄调整死亡率男性为 $191.63/10$ 万，女性为 $121.21/10$ 万；恶性肿瘤死亡占人口总死亡，男性为31.14%，女性为21.55%；它们的累积死亡率分别为27.9%和14.8%。全国县级或相当于县级的行政单位中，恶性肿瘤死亡居人口各类死因首位的男性有429个，女性有161个，居第二位死因的男性有259个，女性有202个。江苏省扬中县是我国恶性肿瘤死亡率最高的县，其恶性肿瘤年龄调整死亡率男性为 $279.3/10$ 万，女性为 $187.3/10$ 万，分别占总死亡的35.33%和34.50%，每年死亡人口中，三个人当中即有一人死于该病。由此可见，恶性肿瘤已成为严重危害人民生命健康的常见病、多发病，对社会主义革命和建设的影响很大。随着我国社会主义事业的发展，人民生活水平的不断提高，其它传染病流行病得到有效控制，人口平均预期寿命的大大延长，这个问题将愈加突出。因此，加强肿瘤的防治研究已成为我国人民在新长征中的突出问题，需要引起我们的严重注意。

六、恶性肿瘤在我国的分布特点：

构成情况：我国男性居民最常见的恶性肿瘤为胃癌，全国平均死亡水平为 $20.93/10$ 万，占所有恶性肿瘤的26.11%，其次为食管癌、肝癌、肺癌、肠癌；女性居民最常见的恶性肿瘤仍为胃癌，其次为宫颈癌、食管癌、肝癌、肺癌（见附表）。各年龄人群恶性肿瘤的构成不

* 指除脑血管病和冠心病外的心血管病。

同，少年儿童(0—14岁)最常见的是白血病(男占52.42%，女占53.60%)，脑瘤(男占10.43%，女占10.04%)，恶性淋巴瘤(男占6.36%，女占5.0%)；青年(15—34岁)最多见的是肝癌(男占24.48%，女占11.22%)和白血病(男占20.74%，女占21.03%)；壮年期(35—54岁)和老年期(55岁以上)则以胃、食管、宫颈、肝、肺等恶性肿瘤为主(见附表)。恶性肿瘤在人体各个部位的构成情况对有关地区和部门决定肿瘤防治研究工作的重点有很大意义，并且，研究各个地区恶性肿瘤的部位构成情况(癌谱)，对肿瘤病因的探讨也有作用。

年龄分布：各种恶性肿瘤的年龄分布曲线具有鲜明的特征，根据这些特征可以将它们分为几个不同的类型。第一类包括食管癌、胃癌、肺癌、肠癌、膀胱癌、阴茎癌等，它们的死亡随年龄而持续上升，提示该类恶性肿瘤的病因以外因为主，人的一生均受其影响。第二类如宫颈癌，其死亡以中年最多，年老时逐渐减少，提示年青时受病因作用最强，随后作用变小，也可能是机体生理状况发生变化(如妇女绝经期)或易感人群消失所致。第三类如女性乳腺癌，一般是在青春期开始出现死亡，死亡率随年龄而上升，45岁后各年龄组上升速度减慢。提示更年期前后受不同刺激因素的作用，也可能与内分泌机能改变有关。第四类如原发性肝癌及鼻咽癌，青少年期死亡较多，以后死亡曲线变平，提示幼年受强烈致癌因素作用，成年后暴露减少或人群易感性降低。第五类如白血病，儿童期有一高峰后逐渐降低，以后随年龄变化不大，提示儿童期存在某种易感因素。第六类如绒癌，主要发生于生育期妇女，提示其病因与生育有联系。因此，仔细分析各种恶性肿瘤的年龄分布特点，对病因的研究有一定的参考价值。

地区分布：我们的调查结果表明，恶性肿瘤在我国各个地区分布是不一致的，一般以华东、华北和西北部地区最多见，华南、西南和东北较少见。并且，每种恶性肿瘤都有自己独特的地区分布特点，有些遍及全国，分布非常广泛，有些则在某些地区特别集中高发，而在别的地区却很少见。现将我国常见的恶性肿瘤地区分布特点简述如下。

1. 所有部位恶性肿瘤：以华东的上海、江苏、福建、浙江，华北的河南、山西、河北和西北的宁夏、青海等省、市、自治区死亡水平最高，云南、贵州、湖南等省最低。女性恶性肿瘤的分布与男性基本相似。西北的陕西和内蒙古亦明显高发，可能是由于宫颈癌在这两个省、区死亡较多所致。

2. 鼻咽癌：主要集中在华南各省、区，包括广东、广西、湖南、福建、江西等，由南向北死亡水平逐步降低，呈现非常鲜明的地区分布特征。

3. 食管癌：食管癌在我国的分布，主要高发区有(1)华北三省(河南、河北、山西)交界地区(2)四川北部地区(3)鄂皖交界的大别山区(4)闽南和广东东北部地区(5)苏北地区(6)新疆哈萨克族聚居地区。并且，大多数高发区均呈不规则同心圆分布，高发区与低发区之间相距不远。

4. 胃癌：高发区主要集中在西北和沿海各省、市、区，其中尤以甘肃、青海、宁夏和上海、江苏、浙江、福建沿海地区，以及辽东半岛、山东半岛更为突出。

5. 肝癌：高发区主要集中在东南沿海地带，尤以上海、广西、福建、江苏、浙江、广东最突出，其中广西扶绥和江苏启东是我国肝癌死亡水平最高的地区。

6. 肺癌：一般城市居民的死亡水平比农村地区高。地理分布上，京、津、沪三市，东北的辽宁、吉林和华北的河北显示比较高死亡，其次是黑龙江、内蒙古、山西及山东、江苏、浙江、福建沿海地区，是否与工业分布有关，值得注意。肺癌在西南地区一般少见，但云南的个旧市、宣威县突出高死亡，其中宣威妇女尤甚。

7. 宫颈癌：死亡水平最高的地区位于山西、内蒙古、陕西、湖北、江西等省、区，其中尤以鄂西、陕南、晋东南和湘赣交界地区最明显。

8. 肠癌：主要集中于江浙和长江下游地区，东北和华北局部地区也有高死亡区，但地理分布没有明显规律。

9. 乳腺癌：女性乳腺癌全国呈散发分布状态，未发现有明显的高死亡地区。

10. 白血病：除在江浙有部分集中高死亡县区外，主要呈散发分布。

可见，各种肿瘤在国内的分布都有自己的特点。我国疆域辽阔，人口众多，各地自然地理环境和人民的生活习惯殊异。因此，结合肿瘤的地理分布特点，进一步组织力量深入探讨其病因和防治方法是很有利的。

图 目

页 次	图 名	比 例 尺
1—2	中国政区图.....	1:15000000
3—4	中国人口图.....	1:12000000
5—6	中国民族图.....	1:12000000
7—8	中国地势图.....	1:12000000
9—10	中国气候图 年平均气温图..... 年降水量图..... 年平均相对湿度图..... 年干燥度图..... 热量带干湿区图.....	1:36000000 1:36000000 1:36000000 1:36000000 1:18000000
11—12	中国土壤图.....	1:12000000
13—14	中国市、县级行政单位图.....	1:12000000
15—16	中国恶性肿瘤分布图（男）（等比分级）.....	1:12000000
17—18	中国恶性肿瘤分布图（男）（显著性检验分级）.....	1:12000000
19—20	中国恶性肿瘤分布图（女）（等比分级）.....	1:12000000
21—22	中国恶性肿瘤分布图（女）（显著性检验分级）.....	1:12000000
23—24	中国胃癌分布图（男）（等比分级）.....	1:12000000
25—26	中国胃癌分布图（男）（显著性检验分级）.....	1:12000000
27—28	中国胃癌分布图（女）（等比分级）.....	1:12000000
29—30	中国胃癌分布图（女）（显著性检验分级）.....	1:12000000
31—32	中国食管癌分布图（男）（等比分级）.....	1:12000000
33—34	中国食管癌分布图（男）（显著性检验分级）.....	1:12000000
35—36	中国食管癌分布图（女）（等比分级）.....	1:12000000
37—38	中国食管癌分布图（女）（显著性检验分级）.....	1:12000000
39—40	中国肝癌分布图（男）（等比分级）.....	1:12000000
41—42	中国肝癌分布图（男）（显著性检验分级）.....	1:12000000
43—44	中国肝癌分布图（女）（等比分级）.....	1:12000000
45—46	中国肝癌分布图（女）（显著性检验分级）.....	1:12000000
47—48	中国宫颈癌分布图（女）（等比分级）.....	1:12000000
49—50	中国宫颈癌分布图（女）（显著性检验分级）.....	1:12000000

51—52	中国肺癌分布图（男）（等比分级）	1:12000000
53—54	中国肺癌分布图（男）（显著性检验分级）	1:12000000
55—56	中国肺癌分布图（女）（等比分级）	1:12000000
57—58	中国肺癌分布图（女）（显著性检验分级）	1:12000000
59—60	中国肠癌分布图（男）（等比分级）	1:12000000
61—62	中国肠癌分布图（男）（显著性检验分级）	1:12000000
63—64	中国肠癌分布图（女）（等比分级）	1:12000000
65—66	中国肠癌分布图（女）（显著性检验分级）	1:12000000
67—68	中国白血病分布图（男）（等比分级）	1:12000000
69—70	中国白血病分布图（男）（显著性检验分级）	1:12000000
71—72	中国白血病分布图（女）（等比分级）	1:12000000
73—74	中国白血病分布图（女）（显著性检验分级）	1:12000000
75—76	中国乳腺癌分布图（女）（等比分级）	1:12000000
77—78	中国乳腺癌分布图（女）（显著性检验分级）	1:12000000
79—80	中国鼻咽癌分布图（男）（等比分级）	1:12000000
81—82	中国鼻咽癌分布图（男）（显著性检验分级）	1:12000000
83—84	中国鼻咽癌分布图（女）（等比分级）	1:12000000
85—86	中国鼻咽癌分布图（女）（显著性检验分级）	1:12000000
87	中国地级行政单位图	1:18000000
88	中国脑瘤分布图（男）（显著性检验分级）	1:18000000
89	中国脑瘤分布图（女）（显著性检验分级）	1:18000000
90	中国恶性淋巴瘤分布图（男）（显著性检验分级）	1:18000000
91	中国恶性淋巴瘤分布图（女）（显著性检验分级）	1:18000000
92	中国膀胱癌分布图（男）（显著性检验分级）	1:18000000
93	中国膀胱癌分布图（女）（显著性检验分级）	1:18000000
94	中国阴茎癌分布图（男）（显著性检验分级）	1:18000000
95	中国绒癌分布图（女）（显著性检验分级）	1:18000000
96—97	中国恶性肿瘤部位构成图（男）	1:12000000
98—99	中国恶性肿瘤部位构成图（女）	1:12000000

中国政区图

